

І. М. ПОГРЕЛЮК, О. В. ТКАЧУК (Фізико-механічний інститут ім. Г. В. Карпенка НАН України), З. О. СІРИК (Львівська філія ДПТу)

ЗАБЕЗПЕЧЕННЯ АНТИКОРОЗІЙНОГО ЗАХИСТУ І ДЕКОРАТИВНОГО ЗАБАРВЛЕННЯ ДЕТАЛЯМ З ТИТАНОВИХ СПЛАВІВ ПРИ ХІМІКО-ТЕРМІЧНІЙ ОБРОБЦІ У КОНТРОЛЬОВАНОМУ АЗОТОКІСНЕВМІСНОМУ СЕРЕДОВИЩІ

Встановлено закономірності формування оксинітридних шарів на поверхні титанових сплавів за контролюваного модифікування киснем попередньо сформованих нітридних покріттів. Показано залежність поверхневого забарвлення титанових сплавів від складу сформованих оксинітридів. Встановлено, що оксинітрування забезпечує титановим сплавам високу корозійну тривкість. Доведено доцільність диференційованого підходу до вибору структурно-фазового стану поверхневих шарів оксинітрованого титану залежно від агресивного середовища.

Ключові слова: оксинітридний шар, титановий сплав, нітридне покриття

Установлены закономерности формирования оксинитридных слоев на поверхности титановых сплавов при контролированном модифицировании кислородом предварительно сформированных нитридных покрытий. Показана зависимость окраски поверхности титановых сплавов от состава сформированных оксинитридов. Установлено, что оксинитрирование обеспечивает титановым сплавам высокую коррозионную стойкость. Доказана целесообразность дифференцированного подхода к выбору структурно-фазового состояния поверхностных слоев оксинитрованного титана в зависимости от агрессивной среды.

Ключевые слова: оксинитридный слой, титановый сплав, нитридное покрытие

The regularities of the forming of oxynitride layers on the surface of titanium alloys at the controlled modification of preliminarily formed nitride coatings by oxygen are determined. The dependence of the surface colouring of titanium alloys depending on the composition of formed oxynitrides is showed. It is determined that oxynitriding provides the high corrosion resistance of the titanium alloys. The expediency of the differential approach to the choice of the phase-structural state of the surface layers of oxynitrated titanium depending on the aggressive environment is showed.

Keywords: oxynitride layer, titanium alloy, nitride coating

Вступ

Сучасна техніка характеризується постійно зростаючими робочими температурами, високими швидкостями, складними навантаженнями та необхідністю експлуатації окремих вузлів тертя механізмів та машин в умовах впливу агресивних середовищ. Це висуває додаткові вимоги до титану як конструкційного матеріалу, до властивостей його поверхні. Традиційні оксидні та нітридні покріття [1 – 4] не завжди здатні задоволити поставлені вимоги.

В зв'язку з цим, значний інтерес викликають багатокомпонентні нестехіометричні фази втілення на основі титану, в тому числі і оксинітриди титану. Більшість характеристик оксинітридів успадковується від оксидів та нітридів, проте ряд фізико-хімічних характеристик, зокрема, твердість, зносостійкість, корозійна тривкість, жароміцність і інші, перевищують їх [5 – 8].

Виходячи із властивостей оксинітридних сполук, формування їх в якості функціональних покріттів, в тому числі і на титанових сплавах, є перспективним напрямом інженерії поверхні.

Одним із варіантів оксинітрування є модифікування нестехіометричного нітриду титану

киснем. Така схема оксинітрування дозволяє формувати покріття на деталях різної конфігурації та характеризується високою відтворюваністю результатів. За такої схеми оксинітрування фазовий склад поверхневих шарів і їх характеристики залежить як від параметрів процесу азотування, так і від параметрів процесу модифікування киснем, зокрема, від парціального тиску кисню модифікуючого кисневмісного середовища.

Мета роботи – встановити закономірності формування оксинітридних покріттів на титанових сплавах залежно від парціального тиску кисню модифікуючого кисневмісного середовища, дослідити корозійну тривкість отриманих покріттів.

Методика досліджень

Досліджували зразки розміром 10x15x1 мм із α -титанового сплаву BT1-0 (технічно чистий титан), псевдо- α -сплавів ПТ7М, BT20 та ($\alpha+\beta$)-сплаву BT6c. Зразки попередньо полірували ($Ra = 0,4 \text{ мкм}$), промивали у спирті та висушували. Насичували за температури 850°C в молекулярному азоті атмосферного тиску. Вико-

© Погрелюк І. М., Ткачук О. В., Сірик З. О., 2011

ристовували технічно чистий азот, який очищали, щоб кисню і вологи було не більше 0,05 %, пропускаючи через капсулу з силікагелем і нагріту титанову стружку. Ізотермічна витримка тривала 5 год. Нагрівали до температури азотування у вакуумі 10^{-3} Па. Охолоджували від температури азотування до 500 °C в розріджено-му кисневмісному середовищі (0,001...10 Па) (парціальний тиск кисню близько 0,0001...1 Па), далі камеру вакуумували.

Фазовий склад поверхневих шарів визначали рентгенівським фазовим аналізом на дифрактографі ДРОН-3.0 у монохроматичному CuK α -випромінюванні з фокусуванням за схемою Брегга-Бретано. Напруга на аноді рентгенівської трубки становила 30 кВ, а струм через неї 20 мА. Використовували пакети програмного забезпечення DHN-PDS та CSD.

Мікроструктуру зразків вивчали на косих шліфах з допомогою мікроскопу Epiquant, оснащеного камерою та комп'ютерною приставкою для фіксації зображення у цифровому вигляді. Рівень та розподіл мікротвердості по перерізу приповерхневих шарів оцінювали, вимірюючи мікротвердість на приладі ПМТ-3М за навантаження на індентор 0,49 Н.

Процес модифікування нестехіометричного нітриду титану киснем реалізовували, подаючи у систему контролюване кисневмісне середовище на завершальній стадії азотування (при охолодженні) (рис. 1). Відтак, від температури азотування до 500 °C відбувається контролюване окиснення сформованого нітриду титану (оксинітрування). Нижче 500 °C камеру вакуумують.

Результати та їх обговорення.

Після реалізації оксинітрування шляхом модифікування нітриду титану киснем за температури 950 °C і парціального тиску кисню 0,0001 та 0,001 Па поверхня титану та його сплавів, в основному, набуває бузково-сірого забарвлення (табл. 1). За температури 850 °C та парціального тиску кисню 0,0001 Па забарвлення поверхні змінюється від аквамаринового до рожевого і бузкового залежно від сплаву. Після оброблення за парціального тиску кисню 0,001 Па поверхня, в основному, бузкова. Саме бузкове забарвлення було одержане в результаті формування оксинітридних фаз в процесі високотемпературного окиснення компактних безпористих зразків нітриду титану [9].

Відмінність у забарвленні поверхні сплавів, очевидно, пов'язана із формуванням оксинітридів різного складу за азотом та киснем.

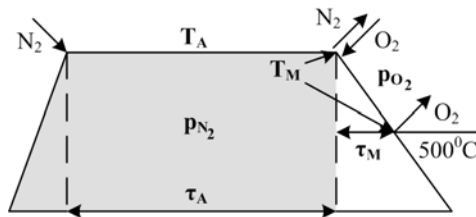


Рис. 1. Схема оксинітрування титанових сплавів: T_A – температура азотування, t_A – тривалість азотування, p_{N_2} – парціальний тиск азоту, T_M – температура початку модифікування, t_M – тривалість модифікування, p_{O_2} – парціальний тиск кисню

Таблиця 1

Забарвлення поверхні титанових сплавів залежно від парціального тиску кисню при оксинітруванні ($T_A = 850/950$ °C)

p_{O_2} , Па	Сплав			
	ВТ1-0	ПТ7М	ВТ20	ВТ6с
0,0001	А/БС	Б/ТЗ	Б/А	А/БС
0,001	БС/БС	Б/БС	Б/ТЗ	Б/БС
0,01	БС/БС	ЯЗ/БС	БЗ/БС	ЖГК/БС
0,1	Сг/Сг	Сг/Сг	Сг/Сг	СК/Сг
1	СГ/СГ	СГ/ЖК	СГ/СГ	К/СГ

Примітка: А – аквамаринове; БС – бузково-сіре; Б – бузкове; ТЗ – темно-золотисте; ЯЗ – яскраво-зелене; БЗ – блідо-зелене; ЖГК – жовтогарячо-коричневе; Сг – світлий сіро-голубе; СК – світло-коричневе; СГ – сіро-голубе; ЖК – жовто-коричневе; К – коричневе.

Візуальні спостереження корелюють з результатами рентгенівського фазового аналізу. Після оксинітрування за парціального тиску кисню 0,0001...0,001 Па процес утворення оксинітридів титану є превалюючим перед оксидоутворенням. Особливо яскраво це виражено у сплавів, оброблених за температури 950 °C. У цьому випадку на дифрактограмах рефлекси оксидної фази відсутні, а оксинітридна фаза представлена повним спектром дифракційних максимумів [(111), (200), (220), (311) і (222)] на фоні ліній α -титану зі збільшеними міжплоскінними відстанями (рис. 2, г, д), що свідчить про формування переходного шару твердого розчину елементів втілення в α -Ti, який відокремлює покриття від матриці. Крім цього, дифрактограми містять широкий спектр рефлексів нижчого нітриду титану Ti_2N . Це пов'язано з тим, що попередньо сформована нітридна зона, яку в подальшому модифікують киснем, складається з поверхневого шару δ -нітриду TiN_x , під яким розміщений ϵ -нітрид Ti_2N . Оскільки оксинітриди формуються на базі кубічної гратки TiN_x , то зважаючи на схему оксинітрування і параметри цього процесу не відбувається ради-

кальних змін у шарах, розміщених ближче до матриці сплаву.

При збільшенні парціального тиску кисню до 0,01 Па оксинітридоутворення сповільнюється, про що свідчить зменшення інтенсивності дифракційних максимумів оксинітриду $\text{TiN}_x\text{O}_{1-x}$ і їх кількості. В той же час інтенсивність оксидаутворення зростає. Так, на поверхні титану, після оксинітрування ($T_A = 950^\circ\text{C}$) зароджується оксидна фаза, про що свідчить поява рефлексів оксиду титану TiO_2 (див. рис. 2, *в*). Поверхня сплавів ПТ7М та ВТ20 набуває більш вираженого бузково-сірого забарвлення на відміну від поверхні інших сплавів. Для титанових сплавів, оксинітрованих в умовах, коли $T_A=850^\circ\text{C}$, характерним є ширший спектр поверхневого забарвлення (див. табл. 1).

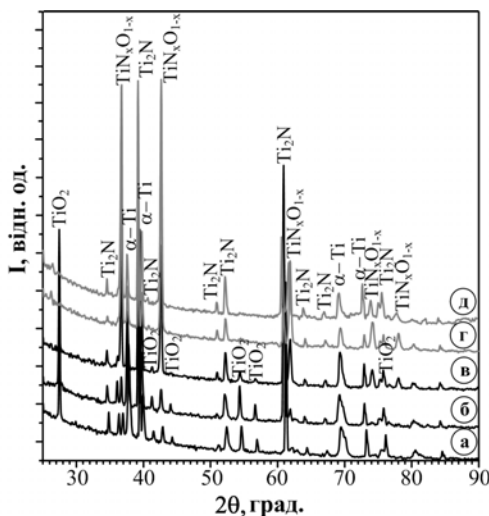


Рис. 2. Дифрактограми, зняті з поверхні технічно чистого титану BT1-0 після оксинітрування за залежністю від парціального тиску кисню (p_{O_2}):
1 Па (а), 0,1 (б), 0,01 (в), 0,001 (г), 0,0001 (д)
($T_A = 950^\circ\text{C}$, $\tau_A = 5$ год, $p_{\text{N}_2} = 10^5$ Па)

Після оксинітрування за парціального тиску кисню 0,1...1 Па кисень приймає активну участь в окисненні нітриду титану. На поверхні титанових сплавів, оксинітрованих за парціального тиску кисню 0,1 Па, присутня оксидна плівка, в основному, сіро-голубого забарвлення. Зі збільшенням парціального тиску кисню до 1 Па забарвлення поверхні темнішає, що опосередковано вказує на формування товстішого оксидного шару. Окрім значної кількості рефлексів високої інтенсивності оксидної фази TiO_2 , на дифрактограмах, знятих з поверхні технічно чистого титану BT1-0 після оксинітрування, присутні слабкі рефлекси оксинітридної фази $\text{TiN}_x\text{O}_{1-x}$ та широкий спектр ліній нижчого нітриду титану Ti_2N невисокої інтенсивності на фоні титанової матриці (див. рис. 2, а, б). Виключенням є титан, оксинітрований за парці-

ального тиску кисню 1 Па ($T_A=850^\circ\text{C}$). У цьому випадку на дифрактограмах присутні лише сліди оксинітридної фази на фоні широкого спектру рефлексів оксиду титану.

Після реалізації оксинітрування за парціального тиску кисню 1 Па на поверхні зразків титанових сплавів утворюється матово-вапняна оксидна плівка. Некогерентність структур, сформованих на поверхні оксиду та нітриду титану, відмінність їх фізичних властивостей, зокрема коефіцієнтів термічного розширення [10], і значна товщина оксидної плівки зумовлюють критичні залишкові напруження в поверхневих шарах. Наслідком цього є розтріскування і сколювання оксидної плівки. Зважаючи на це, прийшли до висновку, що парціальний тиск кисню ≥ 1 Па неприйнятний для оксинітрування.

Зі збільшенням парціального тиску кисню при оксинітруванні фазоутворення на поверхні титанових сплавів зміщується від оксинітридоутворення до оксидаутворення (рис. 3). Так, після оксинітрування за парціального тиску кисню 0,0001...0,001 Па ($T_A = 950^\circ\text{C}$), коли оксинітридоутворення є домінуючим, формується двошарова плівка: поверхневий оксинітрид $\text{TiN}_x\text{O}_{1-x}$, під яким розміщений нижчий нітрид титану Ti_2N . За інших параметрів оксинітрування, коли оксидаутворення активізується, поверхнева плівка містить три шари: внутрішній нітридний (Ti_2N), середній оксинітридний ($\text{TiN}_x\text{O}_{1-x}$) і зовнішній оксидний (TiO_2).

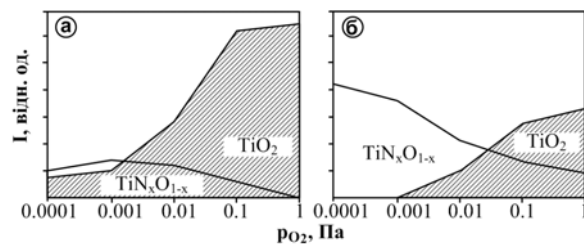


Рис. 3. Відносна інтенсивність дифракційних максимумів (110) фази TiO_2 та (111) фази $\text{TiN}_x\text{O}_{1-x}$ на дифрактограмах, знятих з поверхні зразків технічно чистого титану BT1-0 після оксинітрування ($T_A = 850^\circ\text{C}$ (а) і 950°C (д)), за залежністю від парціального тиску кисню p_{O_2} ($\tau_A = 5$ год, $p_{\text{N}_2} = 10^5$ Па)

Зміна вмісту в оксинітриді титану азоту (кисню) відображається на періоді *a* кубічної гранецентрованої гратах оксинітриду титану [11, 12]. Зі зменшенням парціального тиску кисню у досліджуваному діапазоні ($T_A = 850^\circ\text{C}$) період гратах оксинітриду, сформованого на поверхні технічно чистого титану BT1-0, збільшується від 0,4227 до 0,4240 нм чи від 0,4238 до 0,4242 нм ($T_A = 950^\circ\text{C}$). Тому із залежності періоду гратах оксинітриду титану від вмісту азоту (кисню) [11] випливає, що зі зменшенням

парціального тиску кисню у вказаних межах вміст кисневої компоненти у складі оксинітриду титану зменшується, а його склад наближається до еквіатомного.

Зі зменшенням парціального тиску кисню, коли фазоутворення на поверхні зміщується в бік оксинітридоутворення, зростає поверхнева мікротвердість титанових сплавів (рис. 4). Рівень поверхневої мікротвердості титанових сплавів після оксинітрування за парціального тиску кисню 0,0001...0,01 Па залежить від складу сформованого на поверхні оксинітриду і зростає при наближенні його до еквіатомного. У цьому випадку спостерігається приріст поверхневої мікротвердості відносно відповідного азотування (так званий ефект оксинітрування ΔH).

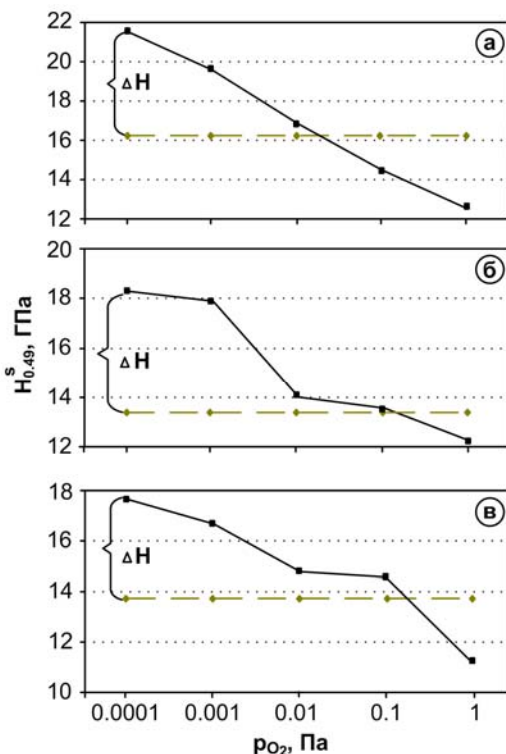


Рис. 4. Залежність поверхневої мікротвердості титанових сплавів BT1-0 (а), ПТ7М (б) та ВТ6с (в) від p_{O_2} за оксинітрування:

$T_A = 950^\circ\text{C}$, $\tau_A = 5$ год, $p_{N_2} = 10^5$ Па
(пунктир – поверхнева мікротвердість після відповідного азотування)

За парціального тиску кисню 0,1...1 Па рівень поверхневої мікротвердості визначає поверхнева оксидна плівка. Її якісні та кількісні характеристики суттєво впливають на інтегральне значення мікротвердості модифікованої поверхні. У даному діапазоні ефект оксинітрування істотно нижчий або взагалі відсутній.

Зі зниженням температури азотування до 850°C діапазон, де спостерігається приріст по-

верхневої мікротвердості відносно відповідного азотування (ефект оксинітрування ΔH) звужується до 0,0001...0,001 Па (рис. 5).

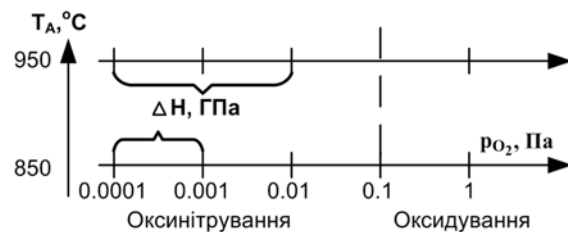


Рис. 5. Залежність ефекту оксинітрування від температури азотування та парціального тиску кисню

Таким чином, змінюючи параметри оксинітрування, можна керувати структурно-фазовим станом та рівнем поверхневого зміщення оксинітридного шару. Зокрема, за збереження температурно-часових параметрів процесу модифікування киснем зі збільшенням параметрів азотування за нижчого парціального тиску кисню (0,0001 Па) вміст кисневої компоненти у складі оксинітриду титану, а за вищого (0,1 Па) вміст оксидної фази у поверхневих модифікованих шарах, зменшується. Відповідно, за збереження параметрів азотування зі збільшенням температурно-часових параметрів процесу модифікування киснем, навпаки, збільшується.

Таким чином, керуючи параметрами процесу оксинітрування, можна формувати регламентований структурно-фазовий стан поверхневих шарів, а саме, з оксидною і оксинітридною плівками на поверхні та нижчим рівнем поверхневого зміщення (I) та з оксинітридною плівкою на поверхні та вищим рівнем поверхневого зміщення (II) (рис. 6).

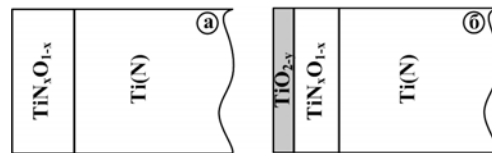


Рис. 6. Структурно-фазовий стан поверхневих шарів титану після оксинітрування:
а) з оксидною та оксинітридною плівками (I);
б) з оксинітридною плівкою (II)

Результати корозійних випробувань показали, що краща корозійна тривкість титану у хлоридній кислоті досягається за рахунок формування в процесі оксинітрування оксинітридної плівки складу наближеного до еквіатомного (II), а в сульфатній кислоті – шаруватої структури, до складу якої, окрім оксинітриду титану входить ще й оксидна фаза (I). Очевидно, це зумовлено впливом природи хімічного зв'язку між атомами у сполуках на основі титану, адже відомо, що як при переході від оксиду до нітріду титану, так і зі зменшенням вмісту кисневої компоненти у складі оксинітриду титану

доля іонного зв'язку між атомами цих сполук зменшується [13]. Сполуки із меншою долею іонного зв'язку між атомами забезпечують кращий антикорозійний захист титану у безкисневих середовищах, а, відповідно, із більшою долею – у кисневмісних середовищах.

Висновки

Показано, що зі зменшенням парціального тиску кисню p_{O_2} від 1 до 0,0001 Па при оксінітруванні фазоутворення на поверхні титанових сплавів зміщується від оксидаутворення до оксинітридоутворення, а вміст кисню у складі оксинітриду титану зменшується. Це забезпечує збільшення поверхневої мікротвердості титанових сплавів від 11 до 22 ГПа.

Встановлено, що рівень поверхневої мікротвердості титанових сплавів після оксінітрування за парціального тиску кисню 0,0001...0,01 Па залежить від складу сформованого на поверхні оксинітриду і зростає при наближенні його до еквіатомного. У даному діапазоні парціального тиску кисню спостерігається ефект оксінітрування ΔH . За парціального тиску кисню 0,1...1 Па рівень поверхневої мікротвердості визначає поверхнева оксидна плівка. Зі зниженням температури азотування від 950 до 850 °C діапазон, у якому спостерігається ΔH , звужується до 0,0001...0,001 Па.

Розроблено алгоритм керування параметрами процесу оксінітрування, який дозволяє формувати як шарувате покриття, що містить оксидну та оксинітридну складові, так і покриття, яке формують оксинітриди складу близького до еквіатомного, забезпечуючи відповідно нижчий і вищий рівень поверхневого зміщення.

Підтверджено вплив природи хімічного зв'язку сформованих сполук на їх антикорозійні характеристики в різного типу корозійних середовищах. Показано, що у водних розчинах хлоридної кислоти краща корозійна тривкість титану досягається за рахунок формування в процесі оксінітрування оксинітридної плівки складу наближеного до еквіатомного (із меншою долею іонного зв'язку між атомами сполуки), а в розчинах сульфатної кислоти – шаруватої структури, до складу якої входять оксинітрид та оксид титану (із більшою долею іонного зв'язку).

БІБЛІОГРАФІЧНИЙ СПИСОК

1. X-ray diffraction measurements of plasma-nitrided Ti-6Al-4V [Text] / S. L. R. da Silva [et al.] // Surface and Coatings Technology. – 1999. – Vol. 116-119. – P. 342-346.
2. Abdolldhi, Z. Investigation of titanium oxide layer in thermal-electrochemical anodizing of Ti6Al4V alloy [Text] / Z. Abdolldhi, A. A. Ziae M. and A. Afshar // Proc. of world academy of science, engineering and technology. – 2008. – Vol. 34. – P. 523-526.
3. Федірко, В. М. Азотування титану та його сплавів [Текст] / В. М. Федірко, І. М. Погрелюк. – К.: Наук. думка, 1995. – 221 с.
4. Dispersion of TiN in aqueous media [Text] / Jingxian Zhang [et al.] // J. of Colloid and Interface Science. – 2005. – Vol. 286. – P. 209-215.
5. Enhanced sputtering of titanium oxide, nitride and oxynitride thin films by the reactive gas pulsing technique [Text] / N. Martin [et al.] // Surface and Coatings Technology. - 2001. – Vol. 142-144. - P. 615-620.
6. Probst, J. Binary nitride and oxynitride PVD coatings on titanium for biomedical application [Text] / J. Probst, U. Gbureck, R. Thull // Surface and Coatings Technology. - 2001. – Vol. 148. – P. 226-233.
7. Structural evolution in ZrN_xO_y thin films as a function of temperature [Text] / L. Cunha [et al.] // Surface and Coatings Technology. – 2006. – Vol. 200. – P. 2917-2922.
8. Structural, optical and mechanical properties of coloured TiN_xO_y thin films [Text] / F. Vaz [et al.] // Thin Solid Films. – 2004. – Vol. 447-448. – P. 449-454.
9. Войтович, Р. Ф. Оксисление карбидов и нитридов [Текст] / Р. Ф. Войтович. – К: Наук. думка, 1981. – 192 с.
10. Гольдшмідт, Х. Дж. Сплавы внедрения [Текст] : в 2-х т. / Х. Дж. Гольдшмідт. – М.: Мир. – 1971. – Т. 1. – 424 с.; Т. 2. – 464 с.
11. Алямовский, С. И. Оксикарбиды и оксинитриды металлов IVA и VA подгрупп [Текст] / С. И. Алямовский, Ю. Г. Зайнуллин, Г. П. Швейкин. – М.: Наука, 1981. – 144 с.
12. Соединения переменного состава и их твердые растворы [Text] / Г. П. Швейкин [и др.]. – Свердловск: УНУ АН СССР, 1984. – 294 с.
13. Физико-химические свойства оксинитридов и карбонитридов титана [Текст] / Г. Д. Богомолов [и др.] // Неорганические материалы. – 1971. – т. 7, № 1. – С. 67-72.

Надійшла до редколегії 15.04.2011.
Прийнята до друку 27.04.2011.